

Foto.1 (23-22-AD-TT-9841) Anticlinal de Priego :ejemplifica el "estilo Altamira" con flanco occidental verticalizado o invertido y flanco oriental tendido.En el núcleo Fm. Dolomías tableadas de Imón . A techo la FM. Carniolas de Cortes de Tajuña. El extraplomado corresponde a la Fm. Dolomías de la Ciudad Encantada



Foto.9.(23-22-AD-TT.9849)Conjunto de cuerpos con estratificación cruzada en surco cerca de Canalejas del Arroyo. Baja sinuosidad .UPN.



Foto.11.(23-22-AD-TT 9851).Canal con dunas (estratificación cruzada en surco) en el horizonte dela fotografía gravas de S.P.Palmiches que marca una ruptura intra UPN.



Foto.12. (23-22-AD-TT-9952). Acrección lateral en canal arenoso de alta sinuosidad cerca de Cañaveras. Seccion paralela a la paleocorriente (Aal. del Guadiela.UPM.



Foto.14.(23-22-AD-TT-9854) Acreccion lateral . Alta sinuosidad.
UPN. Sección paralela a la paleocorriente.



Foto.13.(23-22-AD-TT-9853) Acrección lateral en canal arenoso de alta inuosidad . Seccion paralela a la paleocorriente . (Aah. del Guadiela). UPM.



Foto.15.(23-22-AD-TT 1855). Superposición de canales de alta y baja sinuosidad . En el de alta sinuosidad , a muro de afloramiento , la sección permite observar litosomas de arena de forma abovedada , marcando que la sección es transversal a la paleocorriente. UPN.



Foto. 16 (23-22-AD-TT-9856) A techo de los litosomas arenosos (generalmente dunas), raramente se conservan "climbing ripples". UPM.



Foto.17.(23-22-AD-TT 9857 Si la avulsión de un canal es prolongada , se crean ambientes aptos para una sedimentación palustre , en ocasiones estacional ("varvas") con capas limoso-carbonatadas (clars) y lechos carbonosos con flora y fauna. Un canal posterior erosiona los materiales palustres.UPN.



Foto. 18. (23-22-AD-TT-9858 Vista de S.P.Palmiches. En la base canal de baja sinuosidad. Bajo las casas del pueblo nivel de gravas de SPP , que posee una gran continuidad en la hoja y marca una ruptura sedimentaria menor .UPB.



Foto.19. (23-22-AD-TT-9859.Las gravas son poco erosivas sobre las lutitas . Se trata de canales amalgamados. UPN.



Foto.2 (23-22-AD-TT-9842) El frente de montaña del borde occidental de la Sierra de Bascuñana .Contacto mediante falla inversa de Fm. Brechas dolomíticas de cuenca y el Neógeno.



Foto. 20.(23-22-AD-TT 9860. Sobre las gravas localmente aparecen niveles arenosos de base plana y estratificación paralela. UPN.



Foto.21. (23-22-AD-TT-9861 Los depósitos de gravas de S.P. Palmiches en ocasiones recubren materiales canalizados (e.c. en surco) correspondientes a sistemas de baja sinuosidad.



Foto.22 (23-22-AD-TT 9862 Sobre las barras de gravas en momentos de falta de corrientes tractivas , se formas potentes depósitos estromatoliticos . UPN.



Foto. 23 (23-22-AD-TT-9863. Foto 22 desde cerca.

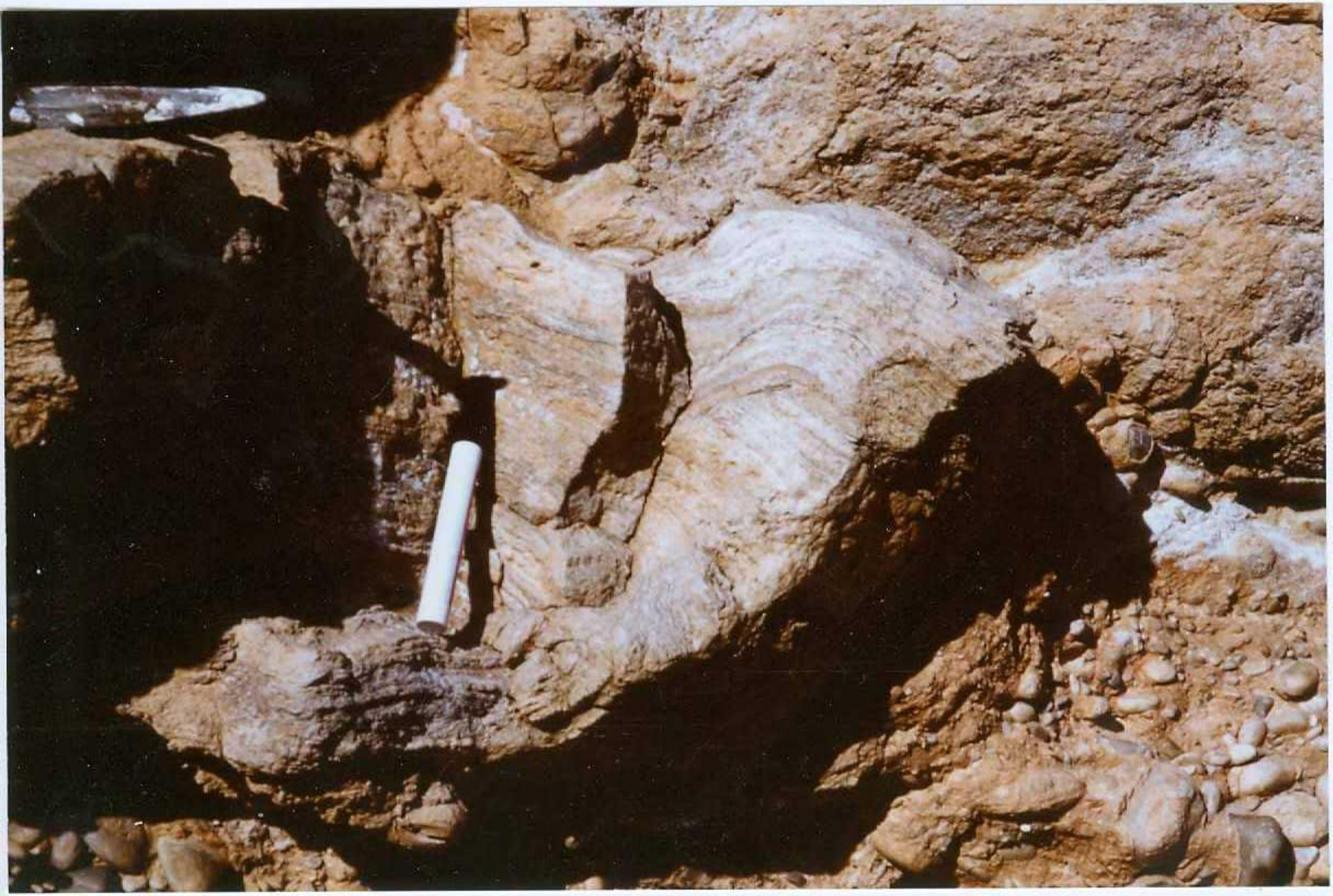


Foto.24 (23-22-AD-TT-9864.Detalle de un edificio estromatolítico de la foto anterior.



Foto. 25 (23-22-AD-TT 9865. En otro punto . la reactivación del canal arranca el banco estromatolítico y lo engloba en la



Foto. 26 (23-22-AP-TT 9866. En zonas de pool , con ausencia de corrientes tractivas , también se desarrollan gigantescos oncolitos , los de la foto tienen mas de 1.2m de largo, nucleados alrededor de un tronco. La reactivación ulterior los incorporó a la barra de grava TPN



Foto.27 (23-22-AD-TT-9867 El sustrato embebido en agua dá
deformaciones tipo "sand pillow". UPN.

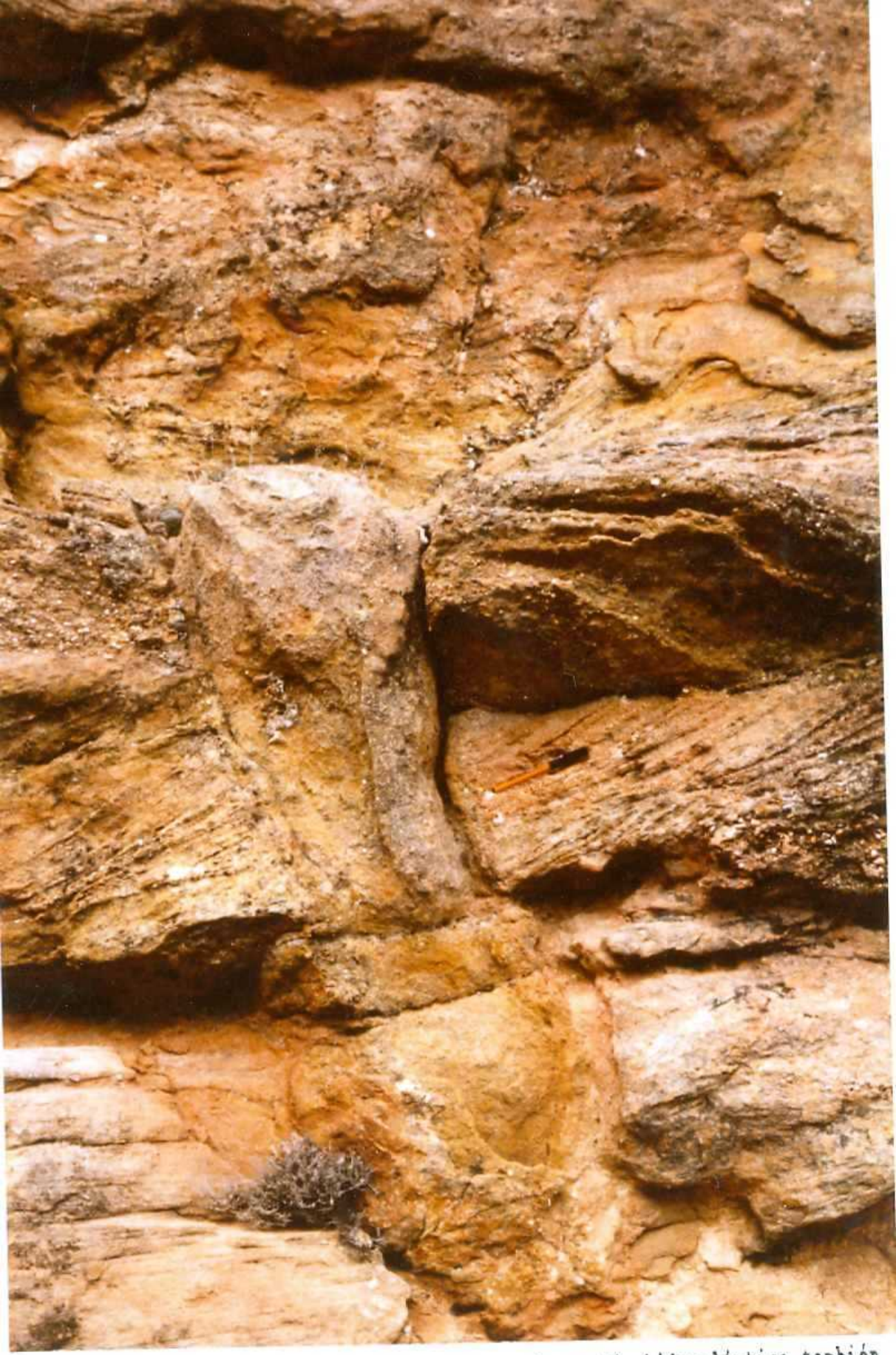


Foto.28.(23-22-AD-TT-9868. La deformación hidroplástica también produce diques de arena , que en este caso cortan un set de arena de gr. grueso con e.c. planar sin afectarlo . UPN.



Foto.29(23-22-AD-TT-9869 . La deformación hidroplástica también se manifiesta en "flame structures").



Foto.3 (23-22-AD-TT-9843) Aspecto de detalle de la Unidad Paleógena inferior en La Frontera: arenas arcósicas masivas con algún canto disperso.



Foto. 30 (23-22-AE-TT-9870. A techo de la Unidad Paleógena-Neógena hay un depósito expansivo de yesos bioturbados y calizas de palmiches.



Foto.31. (23-22-AD-TT-9871. Sobre los yesos bioturbados del techo de la U.PN . Al fondo el mesozoico de la Sierra de Bascuñana.



Foto. 32. (23-22-AD-TT 9872 En la parte inferior yesos bioturbados del tacho de la Unidad Paleógena-Neógena . Lutitas rojas del muro de la Unidad Neógena y cerro testigo de yesos bioturbados de la Unidad Neógena.



Foto.33 (23-22-AD-TT 1873). Vista de las calizas de Palmiches ("Ciénaga de Villaconejos"). Calizas laminadas y niveles de oncolitos. Techo UPN.



Foto. 34 (23-22-AD-TT 9874) Apilamientos y digitaciones en los lignitos de Villanonejos . A techo calizas estromatolíticas. UPM.

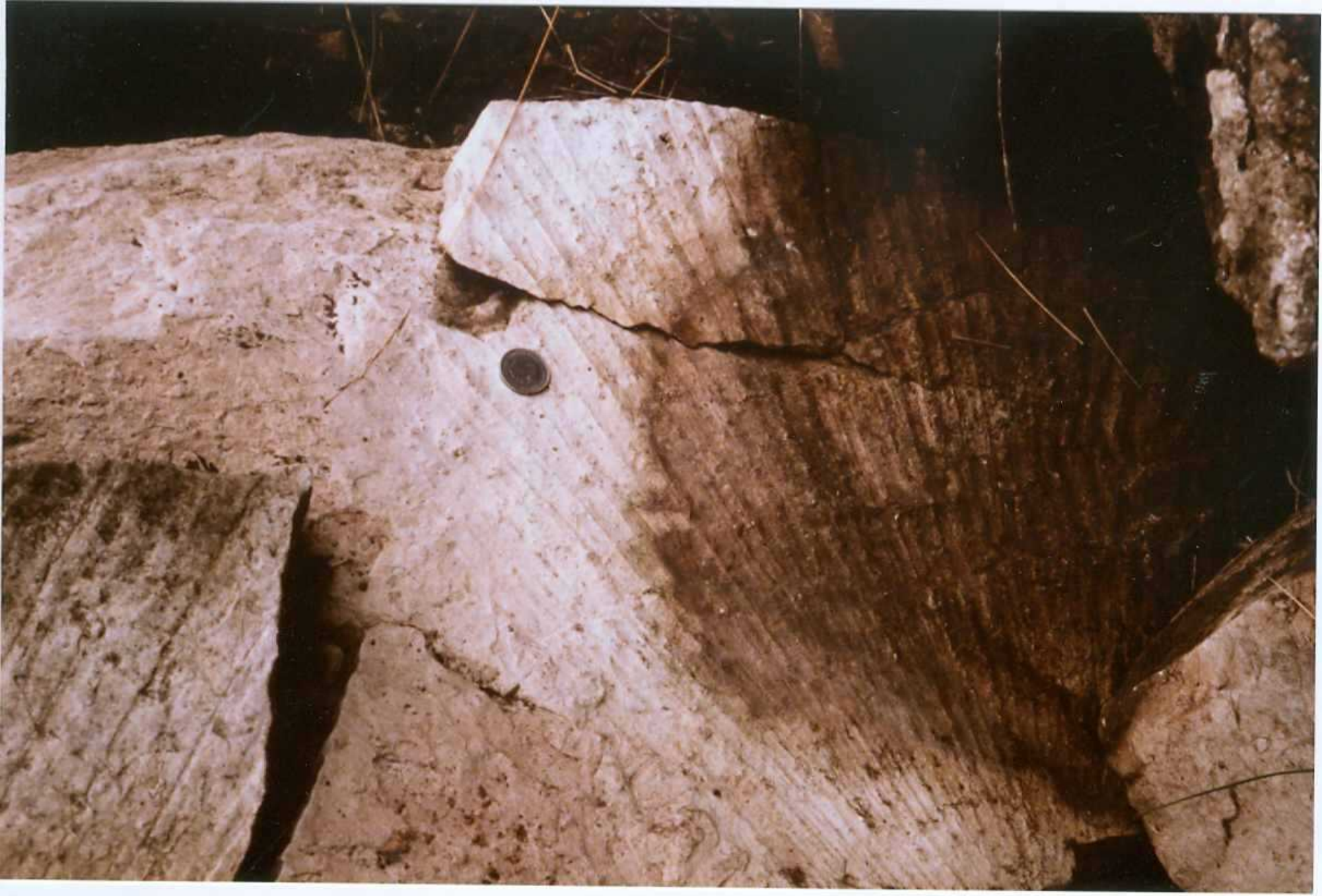


Foto. 35 (23-22-AD-TT 9875 Impresión de una hoja de palmiche (Chamaerops sp.) en Villaconejos de Trabaque. UPN.



Foto. 36 (23-22-AD-TT 9876 Sondeando en Villaconejos de Trabaque (testificación geofísica ENUSA).



Foto. 37 (23-22-AD-TT-9877 . Testigos del sondeo anterior : lignito , yesos nodular negro , calizas laminadas con gasterópodos , calizas oncolíticas. UPM.



Foto.38 (23-22-AD-TT 9878. Discordancia que marca el final de la UPN (yesos bioturbados blancos) al pié del relieve , y depósito de materiales de abanico aluvial árido (rojos) , cuyo ápice está en la hoja de Gascueña. Termina la Unidad en calizas (c. de Albalate) en el punto de toma fotográfica. UN.



Foto. 39 (23-22-AD-TT-9879. Estos abanicos aluviales áridos en ocasiones se nutren de unidades paléogena :mantos de arroyada con gravas cuarcíticas .UN.



Foto.4 (23-22-AD-TT-9844. Intradiscordancia en la Unidad Paleógena-Neógena : al E areniscas plegadas . al O (al otro lado del valle) areniscas y lutitas horizontales. El nivel continuo define una ruptura sedimentaria dentro de la unidad sin plegar.



Foto.40 (23-22-AD-TT 9880 En otras ocasiones engloban yesos del Cretácico superior (cantos rodados de anhidrita).UT.



Foto. 41 (23-22-AD-TT 9881 . En puntos, el sedimento es muy inmaduro y los clastos de yeso son angulosos. UN.



Foto. 42. (23-22-AD-TT-9882. La diagénesis del yeso crea yesos con cantos flotantes de cuarcita : se trata de un debris flow yesificado UN.



Foto. 43. (23-22-AD-TT-9883 . Ocasionalmente se observa canalizacion efimera . En la foto dos barras de gravas y arenas con estratificación aparentemente masiva. UH.



Foto. 44 (23-22-AB-TT-9884 En el ángulo SO de la hoja la ruptura sedimentaria se realiza por una progradación hacia el norte del abanico aluvial húmedo del Júcar . En la parte inferior de la foto yesos del techo de la UPN . Nivel rojo lutitas y canales de la parte inferior de la UK . A techo yesos bioturbados de la mesa de Gascueña UK.



Foto. 45. (23-22-AD-TT-9885. Yesos bioturbados del techo de la Unidad Neógena.



Foto. 46.(23-22-AD-TT-9886.Silicificación de yesos bioturbados.



Foto.47 (23-22-AD-TT 9887 . Detalle de un bloque de yeso bioturbado silicificado.



Foto. 48. (23-22-AD-TT-9888. Vista de flanco del sinclinal de las calizas de Albalate (>80m de espesor) . Techo de la Unidad Neógena.



Foto. 49 (23-22-AD-TT 9889. En Priego las calizas de Albalate son poco potentes (5-10m) micríticas en vez de arcillosas y dan un sinclinal que está fosilizado por una terraza de tobas.



Foto.5.(23-22-AQ-TT-9845) Disposición típica de los canales de la UPN :sand ribbons empastados en la llanura aluvial lutítica. Los canales de la foto pertenecen al A.a.h. del Guadiela . Las alas de los canales llegan a coalescer antes de la avulsión de los cuerpos canalizados principales.UPN.



Foto 50. (23- 22- AD-77 9890 La actividad de exploración de uranio por ENUSA fué muy intensa en la Depresión Intermedia . En la foto :vista bucólica del sondeo de Salmeroncillos (Hoja de Valdeolivas) . Estos sondeos permitieron conocer la variedad de facies existentes en la Unidad Paleógena-Neógena. A continuación se dará un muestrario de ellas.



Foto. 51. (23-22-AP-TT-9891).Las arenas de los canales poseen colores reducidos . Las lutitas de llanura de inundación están oxidadas (marrones).



Foto 52 . (23-22-AD-TT 9892. Detalle de la anterior.



Foto. 53. (23-22-AD-TT-9893 . En el borde de Bascuñana los materiales arenosos y gravelosos están oxidados . Hay barras de grava y arenas gruesas con e.c. en surco.

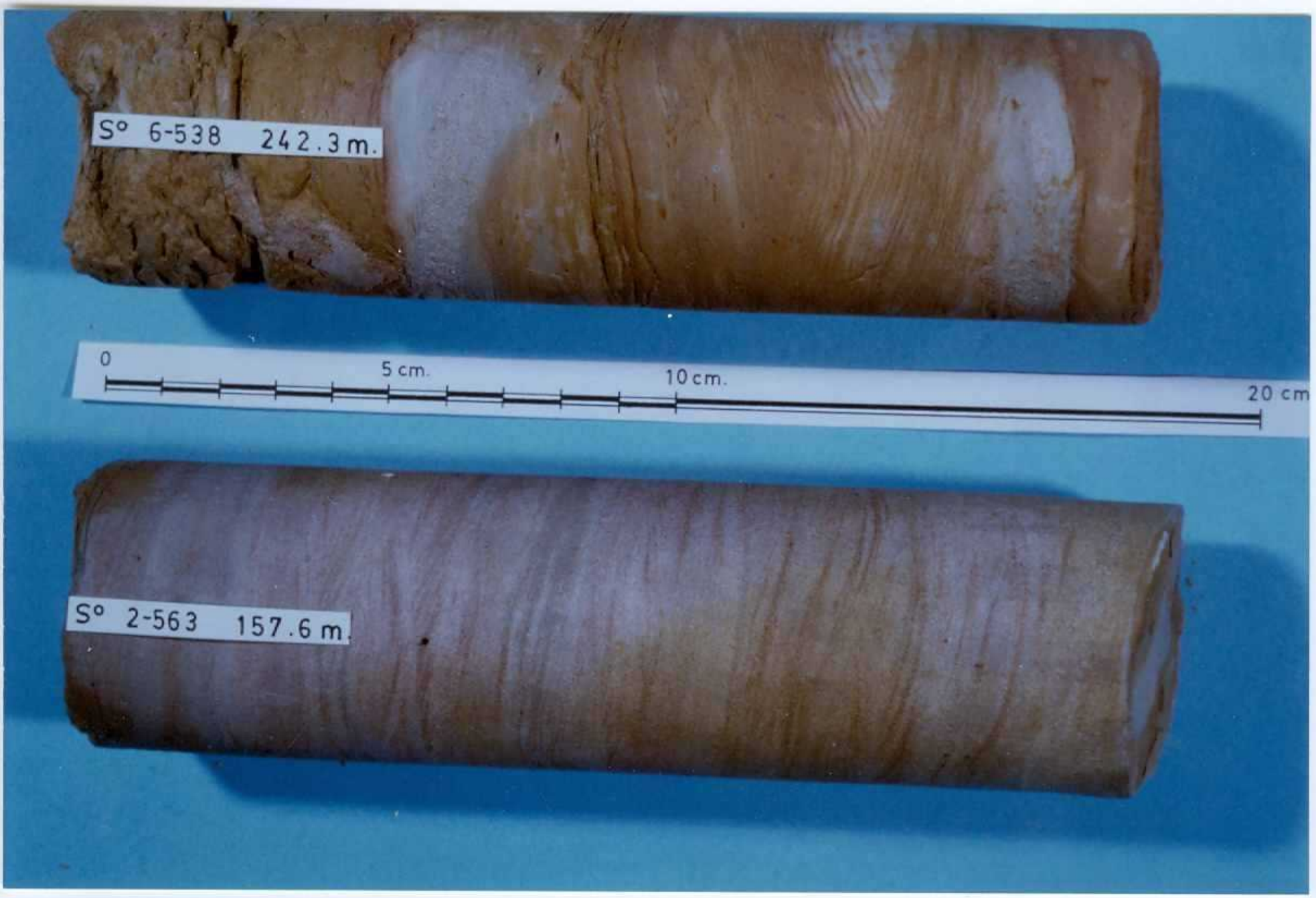


Foto .54.(23-22-AD-TT-9894 .Las secuencias arenosas tienen selección positiva con ripples a techo.



Foto.55.(23-22-AD-TT-9895.Los materiales lutiticos con ripples , frecuentemente estar muy bioturbados.



9896

Foto .56. (23-22-AD-TT-9896 Las lutitas de llanura aluvial son rojas . A veces con caliches .



9897

Foto.57. (23-22-AB-TT-9897. Otras veces tienen yesificaciones.



Foto .58. (23-27-AD-TT-9898 .Menos frecuente es la aparición de áreas palustres entre canales. Espesores métricos.



4855

Foto.59. (23-22-AD-TT-9899). A veces niveles de oncolitos.



Foto.6 (23-22-AD-TT-9846 Migración lateral de canales de baja sinuosidad con estratificación en surco de gran escala.UPN.



9700

Foto. 60 (23-22-AD-TT-9700) El sondeo de El Torrejon (563-6)entró en materiales afectados por una falla profunda y es surgente.



Foto.7. (23-22-AD-TT-9847)Dos sistemas de canales cerca de Valdeolivas. El inferior se orienta NE-SO (A.a.h. del Guadiela) , el superior lo hace SO-NE (A.a.h. de Bolliga) Son de baja sinuosidad.UPN



Foto.8 (23-22-AD-TT-9848) .Set de arena con estratificación cruzada en surco . Grava en las láminas.UPN

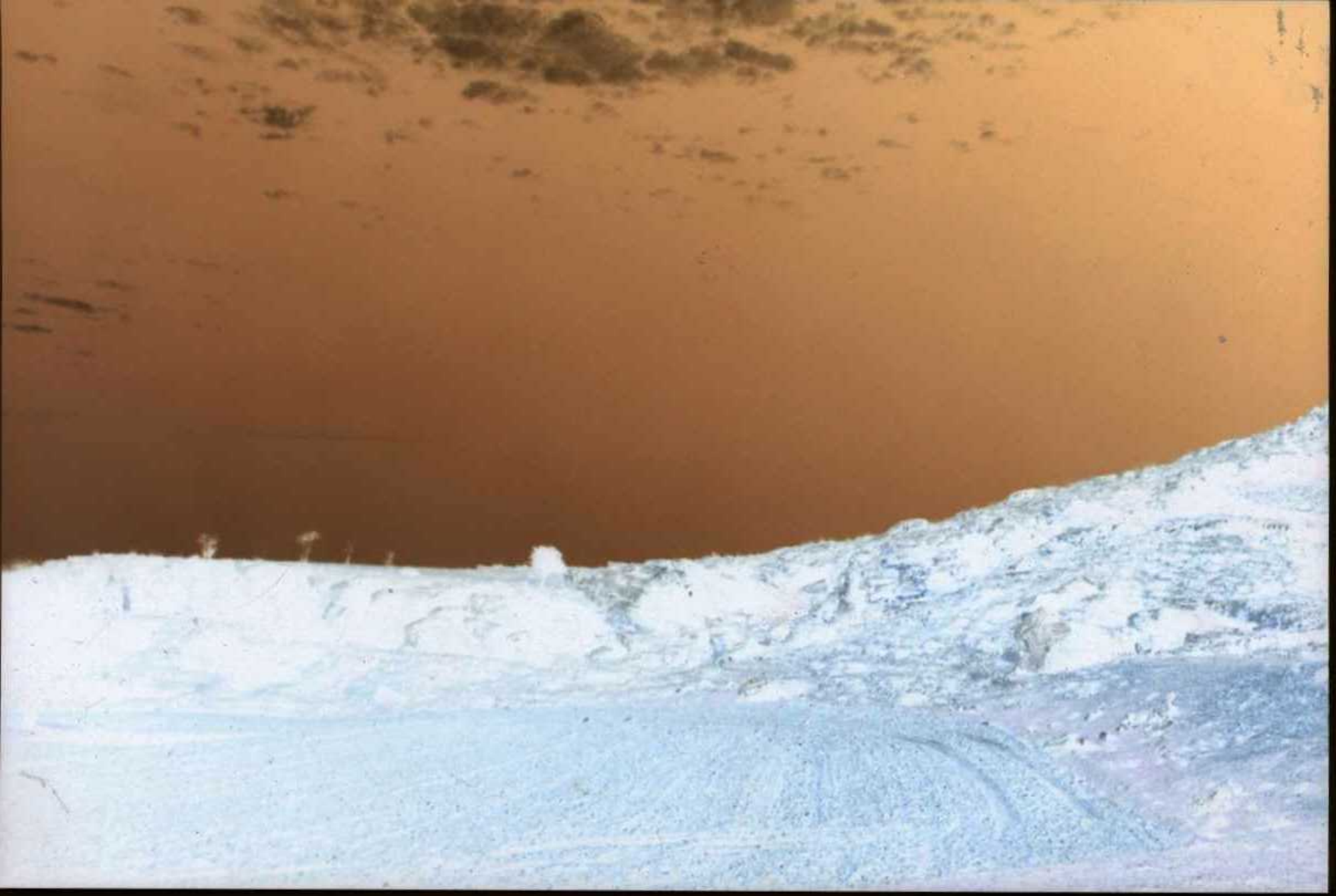


Foto.10.(23-22-AD-TT-9850).Intersección de dos cuerpos canalizados de baja sinuosidad del A.a.h. del Guadiela . Estratificación cruzada en surco.